

DATE CARBONE-14 CONCERNANT LA GEOLOGIE EN BELGIQUE

par M. Dauchot-Dehon (1), M. Van Strydonck (1)
J. Heylen (1), G. Gilot (2), F. Frix (2),
J. Devos (2) et C. Baeteman (3)

INTRODUCTION

La contribution apportée par les datations C-14 à la stratigraphie des sédiments quaternaires récents est évidente. Cette détermination d'âge absolu n'est pas seulement demandée par les géologues, mais également par les chercheurs d'autres disciplines des sciences naturelles. De nombreux travaux de recherches ont été consacrés à l'étude de la chronostratigraphie couvrant des âges de quelques années à plusieurs millénaires. Ces travaux relevant de plusieurs disciplines, ont fourni un très grand nombre de dates couvrant une large échelle de temps et ceci pour plusieurs régions. La collecte et la présentation de toutes les datations effectuées sur des échantillons provenant de Belgique a, de ce fait, une valeur bibliographique. Des chercheurs appartenant à des disciplines très différentes ont utilisé et utilisent les datations au C-14 dans le cadre de travaux de recherches spécialisés. Parmi ces disciplines nous pouvons citer : géologie, géophysique, géographie, biologie, palynologie, climatologie, géochronologie, hydrologie, anthropologie et même histoire et archéologie. Toutes ces disciplines fournissent des datations, chacune dans le cadre touchant son domaine propre, mais la collaboration et l'échange des informations utiles entre les différentes disciplines n'est pas toujours évident. De plus les chercheurs n'ont pas toujours accès aux publications spécialisées d'autres disciplines que la leur, et toutes les datations ne sont pas nécessairement publiées.

Il est important de se rendre compte qu'une datation n'est pas un résultat dont la partie se limite au seul domaine de recherche dans le cadre duquel elle a été effectuée, mais qu'elle est une donnée objective utile à l'ensemble des chercheurs dont les travaux nécessitent des connaissances chronostratigraphiques

quelle que soit la discipline de ceux-ci et les objectifs poursuivis. Ce tableau rassemble un très grand nombre d'informations accessibles à tous et devrait, de ce fait, empêcher l'ignorance de données dans toute interprétation.

La répartition géographique des datations est irrégulière ; elle est le reflet de la quantité de matériel datable au C-14 disponible dans les différentes provinces. Ainsi, les régions où, par exemple, plusieurs niveaux de tourbe sont bien développés, et ce sur de grandes surfaces, sont beaucoup plus favorisées et par conséquent se prêtent à un plus grand nombre de datations.

Toutefois la distribution géographique montre clairement que les recherches ne sont pas limitées à des datations uniques réparties sporadiquement, mais couvrent le plus souvent une large échelle de temps dans une région délimitée.

Ce tableau doit être considéré comme une base de données afin d'ouvrir la voie aux applications dans de nombreux domaines comme par exemple les approches quantitatives ou les études des distributions de fréquence permettant de mieux cerner les échelles de temps correspondant à des événements géologiques et climatologiques.

COMMENTAIRE RELATIF AU TABLEAU ET AUX FIGURES

Les dates mentionnées sont calculées en utilisant une demi vie de 5.570 ans et sont présentées en années BP (AD 1950). La marge d'imprécision est déterminée par la statistique de comptage avec un degré de confiance de 68 %. Le contexte géologique du commentaire est celui envisagé au moment où la datation a été faite ; les précisions techniques sont données par le laboratoire qui a daté

(1) Institut royal du Patrimoine artistique. Laboratoire carbone-14. Parc du Cinquantenaire 1, B-1040 Bruxelles.

(2) Université de Louvain. Laboratoire carbone-14. Chemin du Cyclotron 2, B-1348 Louvain-la-Neuve.

(3) Service géologique de Belgique. Rue Jenner 13, B-1040 Bruxelles.

l'échantillon.

Pour chaque province, le classement est fait sur base soit des données stratigraphiques soit des dates les plus anciennes mais sans fractionner les profils. Le tableau reprend toutes les dates dont

nous avons eu connaissance jusqu'à la fin de 1983 ; aussi remercions-nous par avance les géologues qui voudront bien nous faire part des omissions constatées. Les figures consistent en une distribution géographique des résultats.

LISTE DES DEMANDEURS

- B.B. Bastin B. Laboratoire de Palynologie - Université de Louvain.
B.C. Baeteman C. Service Géologique de Belgique - Bruxelles.
B.L. Beyens L. Laboratorium voor Algemene Plantkunde - Rijksuniversiteit Antwerpen.
B.R. Bouillenne R. Université de Liège.
C.M. Coûteux M. Laboratoire de Palynologie - Université de Louvain.
D.F. Damblon F. Laboratoire de Palynologie - Université de Louvain.
De B.W. De Breuck W. Geologisch Instituut - Rijkuniversiteit Gent.
De C.R. De Ceunynck R. Laboratorium voor Fysische Aardrijkskunde - Rijksuniversiteit Gent.
De M.G. De Moor G. Geologisch Instituut - Rijksuniversiteit Gent.
De P.J. De Ploey J. Laboratorium voor Geomorfologie en Sedimentologie - Universiteit Leuven.
D.P. Diriken P. Laboratorium voor Geomorfologie en Sedimentologie - Universiteit Leuven.
F.D. Ferguson D. Laboratorium voor Algemene Plantkunde - Rijksuniversiteit Antwerpen.
G.J. Geys J. Rijksuniversiteit Antwerpen.
G.F. Gullentops F. Laboratorium voor Geomorfologie en Sedimentologie - Universiteit Leuven.
H.F. Heyvaert F. Laboratoire de Palynologie - Université de Louvain.
H.I. Heyse I.
H.J. Heim J. Laboratoire de Palynologie - Université de Louvain.
H.W. Huybrechts W. Geografisch Instituut - Vrije Universiteit Brussel.
J.P.D. Jungerius P.D. Fys-Geog Lab. Univ. Amsterdam.
J.E. Juvigne E. Service de Géologie et Géographie Physique - Université de Liège.
L.R. Langohr R. Laboratorium Algemene Bodemkunde - Rijksuniversiteit Gent.
M.J. Maes J.
M.A. Munaut A. Laboratoire de Palynologie - Université de Louvain.
M.P. Macar P. Service de Géologie et Géographie Physique - Université de Liège.
M.W. Mullenders W. Laboratoire de Palynologie - Université de Louvain.
P.E. Paulissen E. Laboratorium voor Geomorfologie en Sedimentologie - Universiteit Leuven.
P.R. Paepe R. Service Géologique de Belgique - Bruxelles.
S.C. Sys C. Geologisch Instituut - Rijksuniversiteit Gent.
S.J. Soyer J. Laboratoire de Géomorphologie - Université de Louvain.
S.M. Streel M. Laboratoire de Paléobotanique et Paléopalynologie - Université de Liège.
S.R. Schumacker R. Université de Liège.
T.D. Thomas D. Laboratoire de Palynologie - Université de Louvain.
VB.J. Vandenberghe J. Laboratorium voor Geomorfologie en Sedimentologie - Universiteit Leuven.
V.C. Verbruggen C. Laboratorium voor Regionale Geografie en Landschapskunde - Rijksuniversiteit Gent.
V.R. Vanhoorne R. Laboratorium voor Algemene Plantkunde - Universiteit Antwerpen.
W.G. Woillard G. Laboratoire de Palynologie - Université de Louvain.

LISTE DES LABORATOIRES CARBONE-14

Antw Rijkuniversitair Centrum - Antwerpen.
 B Physikalisches Institut - Universität - Bern 1
 Gif Centre des Faibles Radioactivités - Gif-sur-Yvette.
 GrN Isotopes Physics Laboratory - University Groningen.
 Hv Niedersächsisches Landesamt für Bodenforschung - Hannover.
 IRPA Institut royal du Patrimoine artistique - Bruxelles.
 Lv Université catholique de Louvain - Louvain-la-Neuve.
 Ya Department of Geology and Geophysics - Yale University.

LOCALISATION ET DETERMINATION DU GISEMENT	AUTEUR DE LA DEMANDE DE DATATION	NUMERO DE L'ECHANTILLON	MATERIAU UTILISE	DATE C-14 EN BP	REFERENCE DANS RADIOCARBONE	COMMENTAIRE SUR LA DATE C-14	
ANTWERPEN Olen Hoboken Mingene Kamsel Siabroek Beerse Carrière AB5 bergen-Bruggen Burcht	V.R.	Y-428	tourbe	> 49.000	v 11/2, p.589	Emien	
	P.R.	GrN-4781	tourbe	32.490 ± 440	v 9, p.79	Pléni-glaciaire non lavé à NaOH	
	G.F.	Lv-1284	bois flotté	28.160 ± 590		non lavé à NaOH	
	G.F.	Lv-1285	bois flotté	27.560 ± 820		non lavé à NaOH	
	G.F.	Lv-1286 D	bois flotté	26.470 ± 690		non lavé à NaOH	
	G.F.	Lv-275	tourbe	21.120 ± 1.010			
		GrN-7098		28.100 ± 300			
	G.F.	Lv-1302	restes végétaux	17.300 ± 180		non lavé à NaOH	
		GrN-2458		12.460 ± 140			
		GrN-3052		12.340 ± 120			
		GrN-3049		12.330 ± 120			
	Le P.J.	Lv-75	tourbe	11.750 ± 400	v 4, p.97	Bølling	
	De P.J.	Lv-75	tourbe	10.340 ± 450	v 4, p.97	Bølling ; échantillon non prétraité	
		De P.J.	Lv-73	tourbe	11.550 ± 410	v 4, p.97	Dryas Ancien supérieur
	De P.J.	Lv-74	tourbe	10.560 ± 520	v 4, p.97	Allerød	
	B.L.	Antw-273	tourbe	10.230 ± 320	v 20/2, p.195	Préboréal	
	B.L.	Antw-270	tourbe	9.150 ± 200	v 20/2, p.195	Préboréal	
	B.L.	Antw-272	tourbe	9.390 ± 100	v 20/2, p.195	Préboréal	
	B.L.	Antw-276	tourbe	9.510 ± 175	v 20/2, p.195	Préboréal	
	B.L.	Antw-275	tourbe	8.850 ± 120	v 20/2, p.195	Boréal	
B.L.	Antw-274	tourbe	8.420 ± 110	v 20/2, p.195	Boréal		
B.L.	Antw-271	bois	7.060 ± 90	v 20/2, p.195	Atlantique		
P.R.	Lv-230	tourbe	11.550 ± 330	v 8, p.252			
M.W.	Lv-323	tourbe	5.910 ± 180		daté sur humates		
M.W.	Lv-324	tourbe	5.150 ± 100		daté sur humates		

Herentals	M.W.	Lv-325	tourbe	4.770 ± 120		
	M.W.	Lv-326	tourbe	3.510 ± 85		
	M.W.	Lv-327	tourbe	3.280 ± 95		
	M.A.	Lv-461	limon humifère	10.640 ± 150	v 13/2, p.359	Allerød
Wortel		Lv-460	tourbe	9.940 ± 120	v 13/2, p.359	Préboréal (début) non lavé à NaOH
		Lv-459	tourbe	9.090 ± 160	v 13/2, p.359	Préboréal (fin) non lavé à NaOH
	G.J.	IRPA-147	tourbe	9.320 ± 320	v 17/1, p.1	Boréal
	G.J.	IRPA-146	tourbe	9.055 ± 315	v 17/1, p.1	Boréal
	G.J.	IRPA-145	tourbe	8.215 ± 280	v 17/1, p.1	Boréal
	G.J.	IRPA-144	tourbe	6.225 ± 260	v 17/1, p.1	Atlantique
	De B.W.	IRPA-143	tourbe	2.335 ± 125	v 17/1, p.1	Subatlantique
	B.L.	Antw-265	tourbe	9.060 ± 115	v 20/2, p.195	Boréal
	B.L.	Antw-264	tourbe	7.950 ± 95	v 20/2, p.194	Boréal
	B.L.	Antw-263	tourbe	5.980 ± 80	v 20/2, p.194	Atlantique
	B.L.	Antw-262	tourbe	4.680 ± 75	v 20/2, p.194	Subboréal
	B.L.	Antw-261	tourbe	3.990 ± 130	v 20/2, p.194	Subboréal
	Grote Gammei	B.L.	Antw-115	tourbe	1.910 ± 140	v 18/2, p.157
B.L.		Hv-11081	tourbe	9.240 ± 360		Préboréal
Ipenrooi Hoogstraten	V.R.	Antw-208	tourbe	9.130 ± 25	v 20/2, p.196	Allerød
	V.R.	Antw-209	tourbe	7.880 ± 85	v 20/2, p.196	Contamination probable Allerød Plantation par des plantes jeunes
Meerle Kasterlee Ipenrooi	B.L.	IRPA-403	tourbe	9.025 ± 125	v 25/3, p.868	Préboréal
	B.L.	Antw-116	tourbe	7.490 ± 200	v 18/2, p.157	
	B.L.	IRPA-391	tourbe	7.350 ± 120	v 25/3, p.867	Atlantique
	B.L.	IRPA-472	tourbe	5.200 ± 90	v 25/3, p.867	Atlantique
	B.L.	IRPA-392	tourbe	3.280 ± 80	v 25/3, p.867	Subboréal
	B.L.	IRPA-404	tourbe	3.105 ± 90	v 25/3, p.868	Subboréal
Zandvliet	B.L.	IRPA-393	tourbe	1.160 ± 100	v 25/3, p.868	Subatlantique
	B.L.	Antw-113	tourbe	370 ± 160	v 18/2, p.157	Subatlantique
	M.A.	Lv-259	tourbe	7.210 ± 140		
		Lv-258	tourbe	4.330 ± 80		
	Lv-257	tourbe	2.700 ± 60			

		Lv-256	tourbe	4.480 ± 110	v 11/1, p.107	Transition Atlantique/ Subboréal
		Lv-255	tourbe	3.790 ± 160	v 11/1, p.107	Subboréal (Chute d'Ulmus)
		Lv-254	tourbe	2.350 ± 110	v 11/1, p.107	Subatlantique (FI)
		Lv-253	tourbe	1.010 ± 90	v 11/1, p.107	Subatlantique (FII)
Kalio	F.D.	IRPA-546	tourbe	6.790 ± 80	v 26/3, p.387	
	F.D.	IRPA-545	tourbe	4.240 ± 65	v 26/3, p.387	
	F.D.	IRPA-544	tourbe	2.810 ± 60	v 26/3, p.387	
	F.D.	IRPA-547	tourbe	2.530 ± 70	v 26/3, p.387	
Berendrecht	G.F.	Lv-900	tourbe	6.230 ± 95		
	G.F.	Lv-899	tourbe	2.200 ± 70		
	G.F.	Lv-898	sédiment humifère	770 ± 65		
Antwerp Polder Austruweel	M.W.	Lv-108	tourbe	5.160 ± 160	v 6, p.162	Atlantique (CX)
	M.W.	Lv-96	tourbe	3.890 ± 150	v 6, p.162	transition Atlantique/ Subboréal
	M.W.	Lv-95	tourbe	3.280 ± 150	v 6, p.162	Subboréal
	M.W.	Lv-94	tourbe	2.900 ± 120	v 6, p.162	Subboréal
Weerde	G.F.	Lv-987	tourbe	4.810 ± 50		
	G.F.	Lv-986	tourbe	4.220 ± 80		
Oorderen	M.A.	Lv-251	tourbe	4.750 ± 140	v 11/1, p.107	Subboréal
	M.A.	Lv-250	tourbe	3.800 ± 70	v 11/1, p.106	Subboréal (Chute d'Ulmus)
	M.A.	Lv-249	tourbe	2.390 ± 110	v 11/1, p.106	Subatlantique (FI)
	M.A.	Lv-248	tourbe	2.220 ± 70	v 11/1, p.106	Subatlantique (FII?)
	M.A.	Lv-252	tourbe	1.760 ± 110		
Wuustwezel	B.L.	Antw-129	tourbe	4.560 ± 315	v 18/2, p.157	
	B.L.	Antw-125	tourbe	4.040 ± 140	v 18/2, p.157	
Kuysbroeck	G.J.	Antw-285	tourbe	4.440 ± 80	v 20/2, p.197	
Turnhout	M.A.	Lv-802	tourbe	4.340 ± 100		daté sur humates
				4.240 ± 70		
	M.A.	Lv-801	tourbe	1.420 ± 65		daté sur humates
				1.380 ± 55		
Zondereigen	B.L.	Hv-11082	tourbe	3.760 ± 55		Subboréal
Meer	De P.J.	Lv-97	tourbe alluviale	2.700 ± 150		

Arendonck	B.L.	Antw-112	tourbe	1.360 ± 120	v 18/2, p.156	
Kijkevoersel	M.J.	Antw-204	acides humiques	1.100 ± 240	v 20/2, p.195	
	V.C. et M.J.	Antw-188	charbon de bois	660 ± 60	v 19/2, p.385	
BRABANT						
Hoisbeek	M.A.	Lv-1225	tourbe	12.060 ± 120		
	M.A.	Lv-1224	tourbe	11.550 ± 100		
Hoisbeek-Marrant	M.W.	Lv-474	acides humiques	11.330 ± 180	v 13/1, p.46	Allerød
		Lv-473	acides humiques	8.200 ± 160	v 13/1, p.46	Boréal (CIa)
		Lv-476	tourbe	8.110 ± 140	v 13/1, p.46	transition Boréal/ Atlantique
		Lv-475	tourbe	4.260 ± 85	v 13/1, p.46	
		Lv-472	tourbe	5.850 ± 120	v 13/1, p.45	Atlantique
		Lv-472H	humates	5.550 ± 80	v 13/1, p.45	Atlantique
		Lb-376	charbon de bois	4.820 ± 230	v 13/1, p.45	contamination probable par des morceaux de bois provenant de la couche Atlantique
Sint-Martens-Bodegem	H.W.	Antw-247	tourbe	11.240 ± 90	v 20/2, p.197	Allerød
Rosières	M.A.	Lv-1283	tourbe	10.220 ± 150		
Vallée de la Lasne	M.A.	Lv-1281	tourbe	3.580 ± 45		
	M.A.	Lv-1280	tourbe	2.630 ± 70		
	M.A.	Lv-1282	tourbe	1.530 ± 50		
Herne	H.W.	IRPA-554	tourbe	10.060 ± 110	v 26/3, p.388	
	H.W.	IRPA-553	bois	8.890 ± 95		
	H.W.	IRPA-552	tourbe	7.620 ± 90	v 26/3, p.387	
	H.W.	IRPA-570	bois	6.050 ± 75		
	H.W.	IRPA-569	tourbe	3.080 ± 60		
	H.W.	IRPA-556	tourbe	2.390 ± 55	v 26/3, p.388	
	H.W.	IRPA-555	tourbe argileuse	870 ± 50		
	H.W.	IRPA-442	bois	1.730 ± 80	v 25/3, p.869	
	H.W.	IRPA-349	bois	1.440 ± 90	v 23/3, p.345	
	H.W.	IRPA-354	bois	1.380 ± 100	v 23/3, p.345	
Gaimaarden	H.W.	IRPA-484	tourbe	9.090 ± 110	v 25/3, p.869	

	H.W.	IRPA-481	tourbe	8.700 ± 110	v 25/3, p.869	
	H.W.	IRPA-482	argile	6.490 ± 100	v 25/3, p.869	daté sur humates
	H.W.	IRPA-356	tourbe	5.350 ± 290	v 23/3, p.346	Atlantique (fin)
	H.W.	IRPA-551	tourbe	5.770 ± 75	v 26/3, p.387	
	H.W.	IRPA-550	tourbe	5.730 ± 75	v 26/3, p.387	daté sur humates
	H.W.	IRPA-549	tourbe	4.330 ± 65	v 26/3, p.387	
	H.W.	IRPA-548	tourbe	3.260 ± 60	v 26/3, p.387	
	H.W.	IRPA-506	tourbe	2.580 ± 65	v 26/3, p.387	
Heverlee	M.W.	Lv-579	tourbe	7.290 ± 130		daté sur humates
	M.W.	Lv-578	tourbe	7.240 ± 150		daté sur humates
	M.W.	Lv-577	tourbe	6.290 ± 110		daté sur humates
	M.W.	Lv-576	tourbe	3.580 ± 80		daté sur humates
	M.W.	Lv-575	tourbe	1.730 ± 75		daté sur humates
Wambeek	H.W.	Antw-246	tourbe	6.520 ± 100	v 20/2, p.196	Atlantique
Wethen	G.F.	Lv-279	tourbe	6.350 ± 180	v 9, p.296	Atlantique contamination possible
	G.F.	Lv-277	tourbe	4.260 ± 150	v 9, p.296	Atlantique (fin)
Woluwé St Lambert	M.W.	Lv-1043	tourbe	4.780 ± 85		daté sur humates
	M.W.	Lv-1042	tourbe	3.190 ± 60		daté sur humates
	M.W.	Lv-1041	tourbe	2.050 ± 35		daté sur humates
	M.W.	Lv-1040	tourbe	1.220 ± 50		daté sur humates
Tourinnes la Grosse	G.F.	Lv-276	tourbe	2.110 ± 90	v 9, p.296	Subatlantique (début) daté sur humates
Halle	H.W.	IRPA-347	tourbe	1.180 ± 80	v 23/3, p.345	
	H.W.	IRPA-348	tourbe	660 ± 50	v 23/3, p.345	
Forêt de Soignes	G.F.	Lv-27	charbon de bois	680 ± 160	v 6, p.161	reprise d'érosion
	L.R.	IRPA-411	bois (Fagus)	180 ± 80	v 25/3, p.867	
HAINAUT						
Saint-Ghislain	M.W.	Lv-201	tourbe humates	11.440 ± 210 11.200 ± 300		
	M.W.	Lv-202	tourbe	9.810 ± 170		
	M.W.	Lv-200	tourbe	9.630 ± 230		
Marcq	H.W.	IRPA-571 A	fraction argileuse	10.370 ± 120		échantillon dilué pour la datation
	H.W.	IRPA-572 B	fraction tourbeuse	9.490 ± 130		

	H.W.	IRPA-573	tourbe	9.740 ± 60		
	H.W.	IRPA-572	tourbe	1.640 ± 60		
Mons	H.W.	ITPA-485	tourbe argileuse	990 ± 80	v 25/3, p.869	
	M.W.	Lv-322	tourbe	10.280 ± 110		
	M.W.	Lv-321	tourbe	9.040 ± 130		
	M.W.	Lv-320	tourbe	7.920 ± 180		
	M.W.	Lv-319	tourbe	6.260 ± 100		
Obourg	M.W.	Lv-203	humates tourbe	9.190 ± 160 8.680 ± 110		
	M.W.	Lv-204	tourbe	9.050 ± 240		transition Préboréal/ Boréal
	M.W.	Lv-205	tourbe	7.130 ± 110		
	M.W.	Lv-206	tourbe	4.720 ± 120		
Wasmuel	M.W.	Lv-300	tourbe	8.880 ± 190		
	M.W.	Lv-299	tourbe	6.460 ± 150		
	M.W.	Lv-298	tourbe	4.770 ± 110		
Lessines	H.W.	IRPA-441	tourbe	8.370 ± 120	v 25/3, p.869	
	H.W.	IRPA-440	tourbe argileuse	5.800 ± 90	v 25/3, p.869	
Antoing	H.J.	Lv-878	tourbe	2.070 ± 60		
	H.J.	Lv-877	tourbe	1.420 ± 50		
	H.J.	Lv-876	tourbe	1.210 ± 50		
Enghien	H.W.	IRPA-473	tourbe	1.700 ± 70	v 25/3, p.869	
LIEGE						
Rocourt Deulin	J.E.	Lv-540	limon humifère	27.900 ± 830		
	J.E.	Lv-539	charbon de bois	1.440 ± 65		non lavé à NaOH
	J.E.	Lv-538	charbon de bois	< 90		non lavé à NaOH
Eupen Konnerzwenn	B.B.	Lv-1012	tourbe	12.710 ± 180		non lavé à NaOH
	B.B.	Lv-1011	tourbe	10.820 ± 150		non lavé à NaOH
Fagne Wallonne	B.R.etS.M.	GrN-854	bois (Betula)	6.825 ± 70	v 14/1, p.44	
		GrN-		6.740 ± 70		
	S.R.	B-297	bois (Betula pubescens)	6.720 ± 120	v 3, p.21	Atlantique
	S.R.	B-298	bois (Betula pubescens)	4.690 ± 100	v 3, p.21	Subboréal

Wembach Petit Bongard	n.J.	Lv-1350	tourbe	6.770 ± 110		
	H.J.	Lv-1357	tourbe	2.520 ± 70		
Sart lez Spa Vallée de la Haeghe	H.J.	Lv-1358	tourbe	1.960 ± 90		
	S.M.	Lv-1384	bois	3.580 ± 60		
Robertville	S.M.	Lv-1378	bois	1.690 ± 60		
	D.F.	Lv-772	tourbe	3.360 ± 80		
	D.F.	Lv-771	tourbe	2.960 ± 50		
	D.F.	Lv-714	tourbe	2.300 ± 55		
Jalhay Baraque Michel	D.F.	Lv-733	tourbe	1.820 ± 60		
	M.W.	Louvain n° 21	tourbe	2.764 ± 140		croisement hêtre/chêne
Eupen Eschbach	M.W.	Louvain n° 20	tourbe	1.774 ± 120		
	H.J.	Lv-1359	tourbe	950 ± 60		
	H.J.	Lv-1360	tourbe	320 ± 50		non lavé à NaOH
LIMBURG						
Haaseik Aideneik	G.F.	Lv-1367	débris flottés	32.090 ± 1310		non lavé à NaOH
	P.E.	Lv-441	bois	1.050 ± 75	v 12/2, p.557	alluvions holocènes de la Meuse
Kesselt Lommel Weyerkenne Bergen	G.F.	Lv-1172	humates	22.270 ± 380		
	G.F.	Louvain E.C.	bois	12.890 ± 520		non prétraité
	G.F.	Louvain n° 12	tourbe	13.004 ± 400		non prétraité
	G.F.	Louvain n° 3	tourbe	12.305 ± 330		non prétraité
	B.L.	Antw-155	tourbe	11.760 ± 175	v 19/3, p.384	
	B.L.	Antw-156	tourbe	2.540 ± 115	v 19/3, p.384	
	G.F.	Lv-102	tourbe	11.680 ± 240	v 6, p.162	Allerød
	G.F.	Lv-101	tourbe	11.900 ± 330	v 4, p.96	Allerød
	G.F.	Lv-6	bois	10.040 ± 400	v 4, p.96	non prétraité
	G.F.	Lv-103	tourbe	8.260 ± 160	v 6, p.162	Allerød contamination probable par racines
Opgrimbe	G.F.	Lv-100	tourbe	11.250 ± 240	v 4, p.96	Allerød
	M.A.	Lv-456	sable humifère	12.640 ± 190	v 13/1, p.48	Bølling
	M.A.	Lv-457	tourbe	11.910 ± 170	v 13/1, p.49	Allerød B
St Lambrechts Herk	H.F.	Lv-1145	tourbe	12.370 ± 120		Bølling (fin)
	H.F.	Lv-1240	tourbe	11.890 ± 150		Allerød (début)
	H.F.	Lv-1239	tourbe	11.120 ± 130		Allerød (fin)

Paal	B.L.	Antw-161	tourbe	11.870 ± 185	v 19/3, p.384		
	B.L.	Antw-140	tourbe	10.250 ± 180	v 18/2, p.158	échantillon dilué pour la datation	
	B.L.	Antw-255	tourbe	10.120 ± 155	v 20/2, p.194	Dryas récent	
	B.L.	Antw-141	tourbe	10.890 ± 160	v 18/2, p.158	échantillon dilué pour la datation	
	B.L.	Antw-142	tourbe	8.750 ± 140	v 18/2, p.158	échantillon dilué pour la datation	
	B.L.	Antw-254	tourbe	9.400 ± 200	v 20/2, p.194	Préboréal	
		Antw-151	tourbe	9.640 ± 120	v 18/2, p.158		
	B.L.	Antw-148	tourbe	5.150 ± 115	v 19/3, p.383		
		Antw-149	tourbe	7.870 ± 120	v 18/2, p.158		
	B.L.	Antw-147	tourbe	5.070 ± 190	v 19/3, p.383		
	B.L.	Antw-164	bois (Quercus)	4.660 ± 115	v 19/3, p.384		
	B.L.	Antw-150	tourbe	4.690 ± 120	v 18/2, p.158	échantillon dilué pour la datation	
	B.L.	Antw-143	tourbe	2.130 ± 140	v 18/2, p.158	échantillon dilué pour la datation	
	Vliermaal	D.P.	Lv-1065	tourbe	6.870 ± 50		
		D.P.	Lv-1066	tourbe	5.990 ± 65		Atlantique daté sur humates
D.P.		Lv-1067	tourbe	4.250 ± 50		daté sur humates	
D.P.		Lv-1068	tourbe	4.220 ± 55		daté sur humates	
D.P.		Lv-1069	sédiment humifère	3.040 ± 55			
D.P.		Lv-1070	tourbe	1.970 ± 40			
D.P.		Lv-1071	tourbe	1.580 ± 65			
D.P.		Lv-1072	tourbe	870 ± 40			
D.P.		Lv-1099	tourbe	9.650 ± 90		non lavé à NaOH	
D.P.		Lv-1098	tourbe	8.280 ± 65		non lavé à NaOH	
D.P.		Lv-1097	tourbe	4.800 ± 60			
D.P.		Lv-1096	tourbe	1.960 ± 70			
D.P.		Lv-1095	tourbe	1.690 ± 45			
D.P.	Lv-1094	tourbe	1.230 ± 50				
D.P.	Lv-1124	tourbe	11.370 ± 150		Allerød		
D.P.	Lv-1123	tourbe	10.170 ± 75		non lavé à NaOH		

Widooie	D.P.	Lv-1127	tourbe	8.440 ± 100		Boréal non lavé à NaOH
	D.P.	Lv-1126	tourbe	7.580 ± 100		Boréal non lavé à NaOH
	D.P.	Lv-1125	tourbe	4.960 ± 60		non lavé à NaOH
	H.F.	Lv-1146	tourbe	10.490 ± 140		Dryas III (fin)
	H.F.	Lv-1147	tourbe	7.910 ± 120		transition Boréal/ Atlantique
	H.F.	Lv-1187	tourbe	11.040 ± 130		Allerød
	H.F.	Lv-1186	tourbe	7.910 ± 80		transition Boréal/ Atlantique
	H.F.	Lv-1185	tourbe	2.700 ± 45		
	H.F.	Lv-1184	tourbe	1.250 ± 60		
	H.F.	Lv-1220	tourbe	2.210 ± 50		
Kortessem	D.P.	Lv-1118	tourbe	10.380 ± 100		Préboréal(début)
	D.P.	Lv-1119	tourbe	10.200 ± 120		Préboréal A
	D.P.	Lv-1120	tourbe	9.550 ± 85		Piottino ?
	D.P.	Lv-1121	tourbe	8.060 ± 75		Boréal
Kanne	D.P.	Lv-1122	tourbe	7.230 ± 75		Atlantique
	H.F.	Lv-1218	tourbe	8.250 ± 80		
	H.F.	Lv-1217	tourbe	7.690 ± 75		
	H.F.	Lv-1219	tourbe	6.930 ± 70		
	P.E.	Lv-1026	charbon de bois	6.650 ± 80		
Geistingen Kinrooi	P.E.	Lv-1025	charbon de bois	6.260 ± 75		
	H.J.	Lv-1027	charbon de bois	4.690 ± 80		
	H.J.	Lv-1115	tourbe	7.800 ± 60		
	H.J.	Lv-1114	bois	6.080 ± 85		
	H.J.	Lv-1113	bois	3.910 ± 50		
Lent	P.E.	Lv-435	bois	7.060 ± 150	v 12/2, p.557	alluvions holocènes de la Meuse
Boorseem	P.E.	Lv-437	bois	5.940 ± 110	v 12/2, p.557	alluvions holocènes de la Meuse
Meeswijck	M.W.	Lv-284	tourbe	5.210 ± 130	v 9, p.297	Atlantique (chute d'Ulmus)
Geistingen	P.E.	Lv-436	bois	5.080 ± 120	v 12/2, p.557	alluvions holocènes de la Meuse

Kessenich	P.E.	Lv-434	bois	2.670 ± 100	v 13/1, p.48	alluvions holocènes de la Meuse	
	P.E.	Lv-439	bois	1.550 ± 70	v 12/2, p.557	alluvions holocènes de la Meuse	
	P.E.	Lv-438	bois	1.130 ± 75	v 12/2, p.557	alluvions holocènes de la Meuse	
	P.E.	Lv-440	bois	3.810 ± 75	v 12/2, p.557	alluvions holocènes de la Meuse	
	Dilsen	P.E.	Lv-280	bois (Quercus)	3.570 ± 110	v 9, p.296	Subboréal - horizon d'argile humique
LUXEMBOURG Villers devant Orval		GrN-6159		12.465 ± 100			
		GrN-6012		10.790 ± 60			
		GrN-6011		9.900 ± 80			
		Hv-		10.085 ± 60			
		Hv-		9.965 ± 140			
		Hv-		9.390 ± 55			
		Hv-		8.885 ± 190			
		Hv-		8.440 ± 90			
		Hv-		8.405 ± 80			
		Hv-		8.290 ± 50			
		Hv-3436		8.185 ± 230			
	Hachy Tourbière de Sampont	T.D.	Lv-449	humates	12.240 ± 210		
		T.D.	Lv-451	humates	11.910 ± 180		
		T.D.	Lv-450	humates	11.470 ± 250		
T.D.		Lv-448	tourbe humates	11.440 ± 240 11.170 ± 140			
T.D.		Lv-447	tourbe humates	10.790 ± 160 10.590 ± 170			
T.D.		Lv-445	tourbe humates	9.630 ± 160 9.700 ± 190			
T.D.		Lv-446	tourbe humates	9.530 ± 130 9.540 ± 170			
T.D.		Lv-444	humates	8.630 ± 130			
T.D.		Lv-552	tourbe	9.480 ± 200		niveau à cendres volcaniques	

Tenneville Rouge Ponceau	T.D.	Lv-412	tourbe humates	6.090 ± 140 9.510 ± 140			
	T.D.	Lv-413	tourbe humates	9.010 ± 160 9.110 ± 170			
	T.D.	Lv-414	tourbe humates	9.110 ± 140 8.790 ± 200			
	T.D.	Lv-415	tourbe humates	6.220 ± 110 6.940 ± 120			
	T.D.	Lv-416	tourbe humates	2.940 ± 75 2.750 ± 90			
			GrN-4970	tourbe	8.180 ± 100		
			GrN-4760	tourbe	7.520 ± 110		
			GrN-4680	tourbe	5.400 ± 90		
		M.W.	Lv-149	gyttja	9.090 ± 230	v 8, p.251	Préboréal
		M.W.	Lv-148	gyttja	8.880 ± 220	v 8, p.251	Préboréal
		M.W.	Lv-147	gyttja	7.550 ± 190	v 8, p.250	Préboréal
		M.W.	Lv-146	gyttja	8.130 ± 210	v 8, p.250	Préboréal
		M.W.	Lv-145	tourbe	7.140 ± 190	v 8, p.250	transition Préboréal/ Boréal
		M.W.	Lv-144	tourbe	6.160 ± 260	v 8, p.250	Atlantique
		M.W.	Lv-154	tourbe	3.380 ± 180	v 8, p.250	transition Atlantique/ Subboréal
Chevron		Lv-153	tourbe	2.980 ± 170	v 8, p.250	Subboréal (CIV)	
		Lv-152	tourbe	2.260 ± 130	v 8, p.250	Subatlantique (FI)	
		Lv-151	tourbe	1.450 ± 110	v 8, p.249	Subatlantique (FII)	
		Lv-150	tourbe	550 ± 130	v 8, p.249	Subatlantique (FIII)	
		Lv-274	limon tourbeux	7.630 ± 170	v 9, p.296	Atlantique	
		Lv-273	tourbe	3.580 ± 130	v 9, p.296	transition Atlantique/ Subboréal	
		M.W.	Lv-272	tourbe	2.600 ± 130	v 9, p.295	transition Subboréal/ Subatlantique
Vance-Chantenelle Vallée de la Semois	J.P.D.	GrN-4760	tourbe	7.520 ± 110	v 14/1, p.22	matériel inhomogène contamination par radicelles	
Villers sur Semois Fange Pouilleux	J.P.D.	GrN-4780	tourbe	5.400 ± 90	v 14/1, p.22		
	M.W.	Lv-64	tourbe et gyttja	3.850 ± 140	v 8, p.249	Atlantique contamination par racines	

Libin	M.W.	Lv-63	tourbe	5.120 ± 140	v 8, p.249	Atlantique (CX) (chute d'Ulmus)
	M.W.	Lv-62	tourbe	1.930 ± 130	v 8, p.248	transition Subboréal/ Subatlantique
	M.W.	Lv-61	tourbe	1.820 ± 100	v 8, p.248	Subatlantique
	H.J.	Lv-981	tourbe	5.500 ± 50		non lavé à NaOH
	H.J.	Lv-980	tourbe	4.820 ± 80		non lavé à NaOH
	H.J.	Lv-982	tourbe	4.740 ± 80		non lavé à NaOH
	H.J.	Lv-977	tourbe	4.060 ± 60		
	H.J.	Lv-974	tourbe	2.820 ± 60		
	H.J.	Lv-973	tourbe	1.970 ± 55		
	H.J.	Lv-972	tourbe	1.310 ± 55		non lavé à NaOH
	H.J.	Lv-880	touradon	< 90		
	M.W.	Lv-51	tourbe	4.850 ± 150	v 7, p.119	Atlantique (CX) (chute d'Ulmus)
Rulles Fange des Beutiers						
Muno-Amerois	C.M.	Lv-244	tourbe	4.790 ± 110	v 10/1, p.56	Atlantique (fin)
Stockem	C.M.	Lv-215	tourbe	4.060 ± 140	v 10/1, p.55	Atlantique (fin)
	C.M.	Lv-214	tourbe	2.030 ± 100	v 10/1, p.55	
	C.M.	Lv-213	tourbe	1.480 ± 110	v 10/1, p.56	Subatlantique
Stockem Landbruck	W.G.	Lv-487	tourbe humates	2.580 ± 90 2.620 ± 90		transition Subboréal/ Subatlantique
Les Tailles Tourbière du Grand-Passage	M.W.	Lv-60	tourbe	2.790 ± 90	v 6, p.161	Subboréal
Breidfeld	M.W.	Lv-59	tourbe	2.770 ± 100	v 6, p.161	Subboréal
	M.W.	Lv-161	tourbe	1.740 ± 110	v 8, p.251	Subatlantique
	M.W.	Lv-159	tourbe	1.200 ± 130	v 8, p.251	Subatlantique
	M.W.	Lv-58	tourbe	1.100 ± 90	v 6, p.161	Subatlantique
	M.W.	Lv-157	tourbe	1.310 ± 100	v 8, p.251	Subatlantique
	M.W.	Lv-155	tourbe	< 250	v 8, p.251	Subatlantique
	M.W.	Lv-57	tourbe	860	v 6, p.161	Subatlantique (FIII)
	C.M.	Lv-210	tourbe	2.350 ± 100	v 10/1, p.56	Subatlantique
	C.M.	Lv-211	tourbe	2.680 ± 110	v 10/1, p.56	Subatlantique
	C.M.	Lv-212	tourbe	2.560 ± 120	v 10/1, p.56	Subatlantique
Sainte-Marie s/Semois Mauvais ruisseau	C.M.	Lv-262	tourbe	2.670 ± 100	v 10/1, p.57	Subboréal (CIV)
	C.M.	Lv-261	tourbe	2.000 ± 100	v 10/1, p.57	Subatlantique

Sainte-Marie Chevigny	C.M.	Lv-303	tourbe	2.460 ± 70		
Lierneux	M.W.	Lv-271	tourbe	2.190 ± 160	v 9, p.295	daté sur humates Subatlantique (début)
Habayes la Neuve	H.J.	Lv-170	tourbe	1.600 ± 90	v 12/1, p.156	trop jeune contamination probable par racines
Bois le Prêtre	H.J.	Lv-169	tourbe	2.060 ± 75	v 12/1, p.156	Subatlantique
Habayes la Neuve	H.J.	Lv-172	tourbe	1.490 ± 105	v 12/1, p.157	Subatlantique (FII)
Gros chêne	H.J.	Lv-171	tourbe	930 ± 60	v 12/1, p.157	Subatlantique (FIII)
Sambree	M.W.	Lv-109	tourbe	1.620 ± 100	v 8, p.249	Subatlantique
Fange aux mochettes						
Tennoville	M.W.	Lv-554	tourbe	1.240 ± 65	v 15/1, p.127	Subatlantique (FII)
Ste Gertrude	M.W.	Lv-555	tourbe	790 ± 110	v 15/1, p.127	Subatlantique (FIII)
Tontelange	C.M.	Lv-56	tourbe	1.090 ± 180	v 4, p.96	
Faascht						
NAMUR						
Bioul	S.J.	Lv-477	bois	> 32.500	v 13/1, p.48	
Carrière Rouchat	S.J.	Lv-478	bois	> 32.500	v 13/1, p.48	
Freyr	S.J.	Lv-479	bois	> 32.500	v 13/1, p.48	
Carrière Sambre et Dyle						
Willerzie	H.J.	Lv-1389 D	tourbe	8.440 ± 200		non lavé à NaOH
Harotelle	H.J.	Lv-1392	tourbe	7.150 ± 160		
	H.J.	Lv-1362	tourbe	6.140 ± 90		non lavé à NaOH
	H.J.	Lv-1361	tourbe	5.400 ± 90		non lavé à NaOH
	H.J.	Lv-1391	tourbe	5.270 ± 90		
	H.J.	Lv-1390	tourbe	3.680 ± 80		
Willerzie	H.J.	Lv-1363	tourbe	4.170 ± 60		non lavé à NaOH
Tilheau	H.J.	Lv-1364	tourbe	3.160 ± 60		non lavé à NaOH
	H.J.	Lv-1365	tourbe	1.890 ± 50		non lavé à NaOH
	H.J.	Lv-1366	tourbe	1.170 ± 45		non lavé à NaOH
Hour la petite	M.P.	Lv-523	bois	2.740 ± 80	v 15/1, p.127	cône de déjection

O. VLAANDEREN						
Ecklo		Antw-139	tourbe	> 37.000	v 18/2, p.156	
Gent	De M.G.	IRPA-89	coquillages	> 30.000	v 14/1, p.147	Prétraitement:HCl 1% → perte en poids 20%
Zelzate	P.R.	GrN-4873	tourbe	28.200 ± 700	v 9, p.79	Pléniglaciaire
	P.R.	GrN-4872	tourbe	12.300 ± 100	v 9, p.79	Bølling
Uitbergen	De M.G.	IRPA-150	bois	21.115 ± 450	v 17/1, p.2	
	De M.G.	IRPA-148	tourbe	23.765 ± 450	v 17/1, p.2	
	De M.G.	IRPA-149	marne calcaire	7.955 ± 245	v 17/1, p.2	échantillon non pré- traité : trop poreux
	V.C.	IRPA-97 II	tourbe	1.585 ± 80	v 15/2, p.303	non lavé à NaOH
Bossuit	G.F.	Lv-846	bois	20.740 ± 320		
	G.F.	Lv-901	débris de bois	20.420 ± 275		non lavé à NaOH
Sint Gillis-Waas	V.C.	Y-432	tourbe	12.030 ± 120	v 11/2, p.590	Bølling
Stekene	V.C.	Antw-134	tourbe (couche de Maldegein)	10.860 ± 140	v 18/2, p.156	Tardiglaciaire
	V.C.	Antw-131	tourbe (couche de Maldegein)	10.510 ± 160	v 18/2, p.155	Tardiglaciaire échantillon dilué pour la datation
Nieuwdorp	De M.G.	IRPA-159	tourbe	10.250 ± 290		
	De M.G.	IRPA-158	tourbe	9.735 ± 290		
Gysegem	G.F.	Lv-665	tourbe	8.710 ± 130		
	G.F.	Lv-664	tourbe	7.820 ± 80		
	G.F.	Lv-663	tourbe	5.980 ± 100		
Hoerbeke	H.W.	IRPA-352	tourbe	7.500 ± 340	v 23/3, p.345	
	H.W.	IRPA-350	tourbe	8.700 ± 370	v 23/3, p.345	
	H.W.	IRPA-444	tourbe	8.470 ± 120	v 25/3, p.869	
	H.W.	IRPA-355	tourbe	7.830 ± 330	v 23/3, p.346	
	H.W.	IRPA-445	tourbe	8.000 ± 90	v 25/3, p.869	
	H.W.	IRPA-443	tourbe	6.710 ± 100	v 25/3, p.869	
	H.W.	IRPA-351	tourbe	5.720 ± 270	v 23/3, p.345	
	H.W.	IRPA-353	tourbe	7.790 ± 330	v 23/3, p.345	
Deinze	V.C.	Antw-256	bois	6.380 ± 135	v 20/2, p.196	Atlantique
	V.C.	Antw-257	tourbe	5.870 ± 90	v 20/2, p.196	Atlantique

Doel-Beveren	V.C.	Antw-258	coquillages	7.360 ± 80	v 20/2, p.196	échantillon trop âgé
	V.C.	IRPA-458	tourbe	5.500 ± 80	v 26/3, p.384	
	V.C.	IRPA-454	tourbe	4.900 ± 60	v 26/3, p.384	
	V.C.	IRPA-457	tourbe	5.350 ± 70	v 26/3, p.384	
	V.C.	IRPA-456	bois	3.000 ± 70	v 26/3, p.384	
Sint Arnolphe-Dendermonde Assenede	V.C.	IRPA-455	tourbe	2.050 ± 70	v 26/3, p.384	échantillon trop âgé
	V.R.	IRPA-54	bois	4.170 ± 200	v 13/1, p.31	
	B.C.	IRPA-488(2)	tourbe	3.900 ± 60	v 26/3, p.385	
		IRPA-448(1)	tourbe	3.790 ± 60	v 26/3, p.385	
	B.C.	IRPA-487	tourbe	3.130 ± 60	v 26/3, p.384	
	B.C.	IRPA-489	tourbe	3.090 ± 60	v 26/3, p.385	
	B.C.	IRPA-567	tourbe	4.560 ± 70	v 26/3, p.385	
	B.C.	IRPA-568	tourbe	2.230 ± 50	v 26/3, p.385	
Aalter	S.C.	Gif-780	matière organique horizon B2h d'un Podzol	2.810 ± 150	v 13/2, p.243	contamination probable par racines
	V.C.	IRPA-578	noix	2.490 ± 60		
Zvergem	V.C.	IRPA-578	noix	2.490 ± 60		
Berlare	S.C.	Gif-1141	matière organique horizon B d'un Podzol	2.680 ± 150	v 11/2, p.350	
Hoerzeke-Castel Heusden-Gent Dobbelaere-Maldegem	V.R.	IRPA-83	bois	1.565 ± 90		
	V.C.	IRPA-971	tourbe	1.195 ± 75	v 15/2, p.303	non lavé à NaOH
	I.H.	Antw-154	tourbe	940 ± 100	v 19/3, p.383	Age médiéval
W. VLAANDEREN Zernegem	V.R.	Y-431	tourbe	> 50.000	v 11/2, p.590	Eemien
	V.R.	Y-430	tourbe	> 50.000	v 11/2, p.589	Eemien
	V.R.	Y-436	tourbe	> 47.000	v 11/2, p.588	Eemien
	V.R.	Y-429	tourbe	> 48.000	v 11/2, p.588	Eemien ou Weischelien récent
Poperinge Heetkerke	F.R.	GrN-4856	tourbe	45.600 ± 1500	v 9, p.80	Tardiglaciaire
	S.C.	Gif-1339	coquillages	> 40.000	v 14/2, p.315	Prétraitement : HCl 1% →
	S.C.	Gif-1341	coquillages (Hydrobia)	> 40.000	v 14/2, p.315	perte en poids de 20%

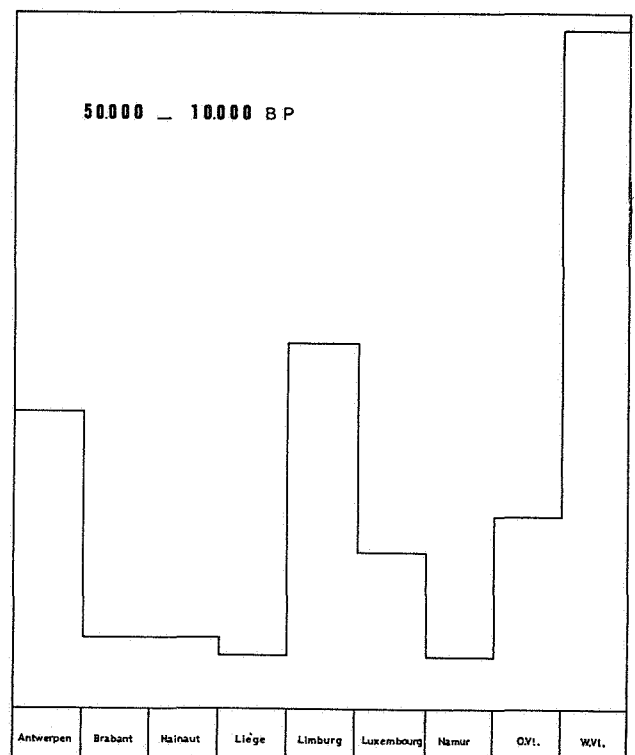
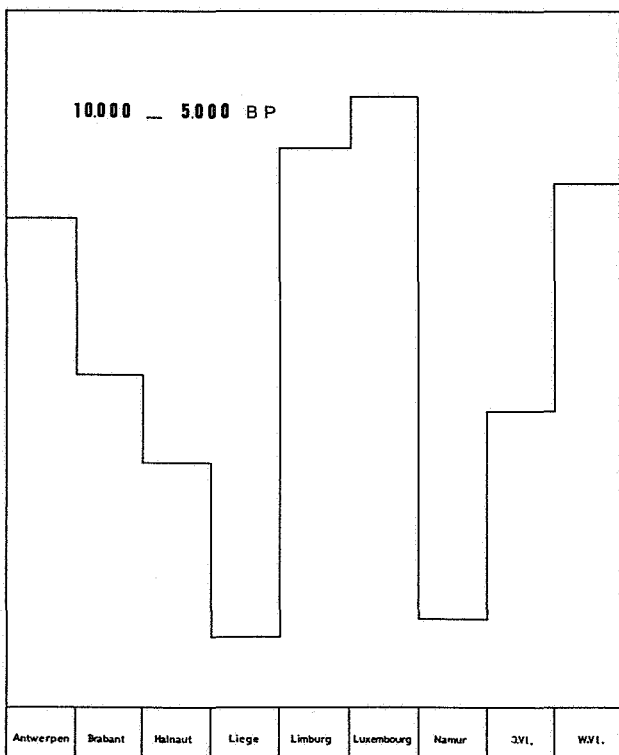
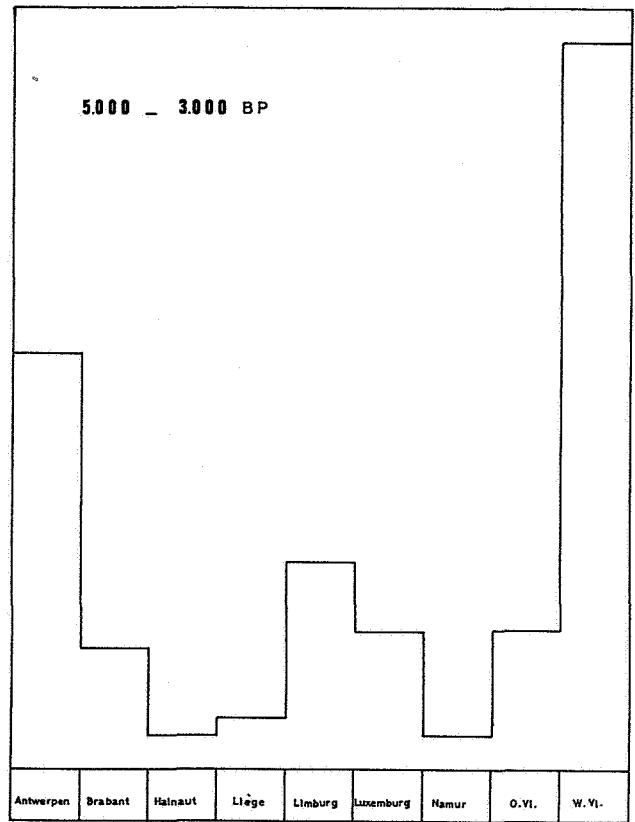
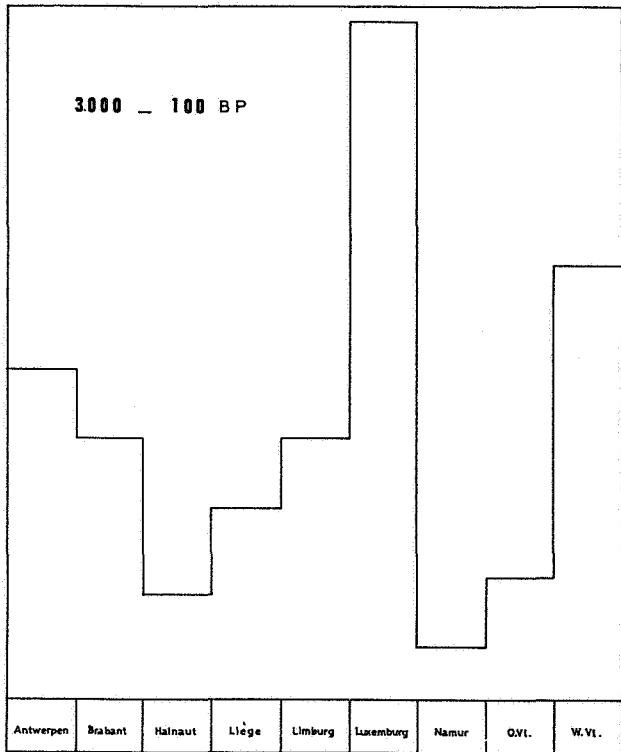
Zuienkerke	De B.W.	IRPA-86	coquillages	34.160 ± 850	v 14/2, p.146	prétraitement : HCl 1% → perte en poids de 20%	
	De B.W.	IRPA-79	coquillages	22.875 ± 620	v 14/1, p.146		
	De B.W.	IRPA-77	coquillages (Ostrea)	21.440 ± 670	v 14/1, p.146		
	De B.W.	IRPA-76	coquillages (Serobicularia)	19.560 ± 540	v 14/1, p.146		
	De B.W.	IRPA-78	coquillages (Hydrobia)	17.430 ± 460	v 14/1, p.146		
	S.C.	Gif-1344	coquillages	> 40.000	v 14/2, p.316		
	De B.W.	IRPA-85	bois calciné	> 35.000	v 14/1, p.146		
	De D.M.	IRPA-88	coquillages (Cardium)	> 30.000	v 14/1, p.47		
	Assebroek	VB.J.	GrN-7097	tourbe	30.700 ± 350		
		VB.J.	Lv-573	tourbe	30.250		
VB.J.		Lv-572	tourbe	12.870 ± 230			
VB.J.		Lv-569	tourbe	8.020 ± 200			
VB.J.		Lv-568	tourbe	6.500 ± 140			
VB.J.		Lv-571	tourbe	3.680 ± 120			
VB.J.		Lv-570	tourbe	2.350 ± 100			
De B.W.		IRPA-68	tourbe	29.995 ± 790	v 14/1, p.145		
Sint-Baafs Vijver	De B.W.	IRPA-67	coquillages	13.090 ± 440	v 14/1, p.145		
	De B.W.	IRPA-66	tourbe	29.900 ± 700	v 14/1, p.145		
	G.F.	Lv-685	tourbe	26.220 ± 900			
	G.F.	Lv-685	tourbe	26.220 ± 900			
Sint-Joris ten Distel Brugge Brugge Vijve Kapelle wenduine	S.C.	Gif-1343	coquillages	22.600 ± 600	v 14/2, p.316	prétraitement : HCl 1% → perte en poids de 20%	
	De B.W.	IRPA-39	coquillages	11.350 ± 365	v 13/1, p.29		
	De B.W.	IRPA-172	eau souterraine	3.050 ± 150	v 21/2, p.180	traitement : extraction du CO ₂ par acidification	
Stalhilie	S.C.	Gif-1342	coquillages	21.000 ± 600	v 14/2, p.316	prétraitement : HCl 1% → perte en poids de 20%	
	V.R.	Antw-153	tourbe	11.950 ± 200	v 18/2, p.154	Tardiglaciaire échantillon dilué pour la datation	
Gistel, Roksem	V.R.	Antw-92	bois	12.120 ± 140	v 18/2, p.154	Tardiglaciaire	
	V.R.	Antw-146	mousse	10.800 ± 140	v 18/2, p.154	Tardiglaciaire	

Zedelgem	V.R.	Antw-95	tiges de plantes	12.070 ± 200	v 18/2, p.153	Tardiglaciaire
Roksem, Hoge Dijken	V.C.	GrN-5191	bois	11.740 ± 130	v 14/1, p.21	Bølling
Varsenare	De B.W.	IRPA-40	coquillages	11.645 ± 320	v 13/1, p.29	prétraitement : HCl 1%, perte en poids de 20%
	De B.W.	IRPA-41	tourbe	5.070 ± 215	v 13/1, p.29	non lavé à NaOH
Sysele	V.R. et V.C.	Antw-83	tourbe (base de la couche de Maldegem)	11.560 ± 170	v 18/2, p.154	Tardiglaciaire
	V.R. et V.C.	Antw-127	bois (base de la couche de Maldegem)	11.490 ± 180	v 18/2, p.154	Tardiglaciaire échantillon dilué pour la datation
Houtaveer, Jabbeke	V.R.	Antw-93	bois	11.430 ± 170	v 18/2, p.154	Tardiglaciaire
	V.R.	Antw-128	tourbe	11.380 ± 180	v 18/2, p.155	Tardiglaciaire échantillon dilué pour la datation
	V.R.	Antw-137	tourbe	11.400 ± 140	v 18/2, p.155	Tardiglaciaire
	V.R.	Antw-138	tourbe	10.370 ± 140	v 18/2, p.155	Tardiglaciaire
	V.R.	Antw-133	tourbe	10.480 ± 140	v 18/2, p.155	Tardiglaciaire
	V.R.	Antw-132	racines d'arbre	3.560 ± 115	v 18/2, p.155	Subboréal
Wuipen	B.C.	IRPA-566	tourbe	8.250 ± 95		
	B.C.	IRPA-527	tourbe	3.490 ± 60	v 26/3, p.386	
	B.C.	IRPA-528	tourbe	2.970 ± 60	v 26/3, p.387	
Adinkerke	V.C.	IRPA-439	tourbe	7.790 ± 130	v 25/3, p.868	Atlantique (début)
	De B.W.	IRPA-138	eau souterraine	3.145 ± 220	v 17/1, p.1	traitement : extraction du CO ₂ par acidification
Lampernisse	B.C.	IRPA-533	tourbe	7.230 ± 85	v 26/3, p.386	
Pervijze Orthodoxe kerk	B.C.	IRPA-534	tourbe	7.110 ± 90	v 26/3, p.386	
	B.C.	IRPA-532	tourbe	5.130 ± 70	v 26/3, p.385	
Lampernisse	B.C.	Antw-251	tourbe	5.310 ± 190	v 20/2, p.193	Atlantique
	B.C.	Antw-244	tourbe argileuse	5.590 ± 80	v 20/2, p.192	Atlantique
	B.C.	Antw-250	tourbe	5.100 ± 140	v 20/2, p.193	Atlantique
	B.C.	Antw-249	tourbe	4.640 ± 65	v 20/2, p.193	transition Atlantique/ Subboréal
	B.C.	Antw-245	tourbe	4.050 ± 180	v 20/2, p.192	transition Atlantique/ Subboréal
	V.R.	Antw-214	bois (Pinus)	3.110 ± 80	v 20/2, p.192	Subboréal
	V.R.	Antw-163	bois (Pinus)	3.550 ± 35	v 19/3, p.384	Subatlantique
	V.R.	Antw-191	bois	2.340 ± 45	v 19/3, p.384	Subatlantique

Merken	B.C.	IRPA-520	tourbe	7.030 ± 85		
	B.C.	IRPA-515	tourbe	6.500 ± 95		
	B.C.	IRPA-521	tourbe	1.750 ± 55		
Oostkerke	B.C.	IRPA-536	tourbe	7.000 ± 80	v 26/3, p.386	
	B.C.	IRPA-535	tourbe	6.750 ± 80	v 26/3, p.386	
Oudekapelle Dijk	B.C.	IRPA-542	tourbe	6.870 ± 80	v 26/3, p.386	
	B.C.	IRPA-541	tourbe	6.680 ± 80	v 26/3, p.386	
Oudekapelle Jacobs	B.C.	IRPA-538	tourbe	5.360 ± 70	v 26/3, p.385	
	B.C.	IRPA-537	tourbe	1.870 ± 55	v 26/3, p.386	
Zandvoorde	B.C.	Antw-229	tourbe	6.750 ± 125	v 20/2, p.194	Atlantique
	B.C.	Antw-228	tourbe	3.000 ± 55	v 20/2, p.194	Subboréal
	De M.G.	IRPA-69	tourbe	3.365 ± 190	v 14/1, p.145	non lavé à NaOH
Zeebrugge	G.F.	Lv-857	sédiment humifère	6.660 ± 75		
	G.F.	Lv-856	tourbe	6.320 ± 70		daté sur humates
	G.F.	Lv-855	bois	4.880 ± 65		période d'exondation
Ramskapelle	B.C.	IRPA-559	tourbe	6.200 ± 80		
	B.C.	IRPA-558	bois	6.160 ± 80		
Steenkerke	P.R. et B.C.	Antw-136	tourbe	5.830 ± 115	v 18/2, p.156	
	P.R. et B.C.	Antw-123	tourbe	4.150 ± 115	v 18/2, p.156	
Spermalie	B.C.	IRPA-519	tourbe	5.650 ± 75		
Bredene	V.C.	IRPA-437	tourbe	5.550 ± 100	v 25/3, p.868	base de la couche
	V.C.	IRPA-438	tourbe	1.940 ± 90	v 25/3, p.868	sommet de la couche
Uitkerke	S.C.	Gif-1340	tourbe	5.300 ± 130	v 14/2, p.316	Atlantique
Woordschote Drie grachten.	B.C.	IRPA-531	tourbe	5.520 ± 70	v 26/3, p.385	
	B.C.	IRPA-530	tourbe	3.790 ± 60	v 26/3, p.385	
	B.C.	IRPA-524	bois	3.610 ± 60	v 26/3, p.385	
	B.C.	IRPA-529	tourbe	3.540 ± 60	v 26/3, p.385	
Leffinge	V.C.	Antw-105	bois (Quercus)	5.190 ± 140	v 18/2, p.156	Atlantique
	V.C.	Antw-102	bois	4.630 ± 140	v 18/2, p.156	Atlantique
	B.C.	IRPA-282	tourbe	4.470 ± 220	v 23/1, p.35	
	P.R.	Antw-227	tourbe	3.570 ± 60	v 20/2, p.192	Subboréal (fin)
	B.C.	IRPA-337	tourbe	3.340 ± 190	v 23/1, p.35	
	B.C.	IRPA-338	bois	3.230 ± 160	v 23/1, p.35	même couche que IRPA- 337
	B.C.	IRPA-283	tourbe	3.140 ± 170	v 23/1, p.35	

Brugge	M.W.	Lv-38	tourbe	5.190 ± 130	v 6, p. 165	Atlantique
	M.W.	Lv-39	tourbe	1.160 ± 110	v 6, p. 165	
Uitkerke	De B.W.	IRPA-197	eau souterraine	1.850 ± 100	v 21/2, p.180	Atlantique (fin) ou Subboréal non lavé à NaOH traitement : HCl 1% → perte en poids de 20%
	De B.W.	IRPA-198	eau souterraine	2.560 ± 140	v 21/2, p.180	
	De B.W.	IRPA-42	tourbe	5.065 ± 230	v 13/1, p.29	
	De B.W.	IRPA-87	coquillages (Cardium)	1.630 ± 90	v 14/1, P.146	
Booilshoeko Zeedijk	B.C.	IRPA-288	tourbe	4.770 ± 220	v 23/1, p.33	base de la couche: trop jeune
	B.C.	IRPA-287	tourbe	3.970 ± 190	v 23/1, p.33	
	B.C.	IRPA-286	tourbe	3.740 ± 140	v 23/1, p.33	
	B.C.	IRPA-285	tourbe	2.080 ± 140	v 23/1, p.33	
	B.C.	IRPA-345	tourbe	3.200 ± 200	v 23/3, p.346	
Booilshoeko Vaart	B.C.	IRPA-344	tourbe	2.890 ± 150	v 23/3, p.346	
	B.C.	IRPA-292	tourbe	4.300 ± 200	v 23/1, p.33	
	B.C.	IRPA-291	tourbe	4.260 ± 200	v 23/1, p.33	
	B.C.	IRPA-290	tourbe	4.030 ± 400	v 23/1, p.33	
Avekapelle	B.C.	IRPA-289	tourbe	3.250 ± 150	v 23/1, p.33	
	B.C.	IRPA-335	tourbe	4.240 ± 190	v 23/1, p.33	
	B.C.	IRPA-334	tourbe	3.450 ± 180	v 23/1, p.34	
	B.C.	IRPA-336	tourbe	3.340 ± 170	v 23/1, p.34	
	B.C.	IRPA-539	tourbe	3.890 ± 65	v 26/3, p.386	
Gistel	B.C.	IRPA-540	tourbe	2.680 ± 60	v 26/3, p.386	transition Atlantique/ Subboréal
	M.W.	Lv-40	charbon de bois	4.330 ± 120	v 8, p.254	
Bulskamp-Veurne de Moeren	V.C.	IRPA-388	tourbe	4.480 ± 240	v 23/3, p.346	
	V.C.	IRPA-387	tourbe	4.330 ± 230	v 23/3, p.346	
Houtem de Moeren	V.C.	IRPA-356	tourbe	3.440 ± 190	v 23/3, p.346	
Vlissegem	De B.W.	IRPA-137	eau souterraine	3.720 ± 150	v 17/1, p.1	traitement : extraction du CO ₂ par acidification
Blankenberge	De B.W.	IRPA-174	eau souterraine	3.930 ± 160	v 21/2, p.180	traitement : extraction du CO ₂ par acidification

Keninge De Panne	De B.W.	IRPA-173	eau souterraine	3.290 ± 130	v 21/2, p.180	traitement : extraction du CO ₂ par acidification
	De B.W.	IRPA-175	eau souterraine	570 ± 30	v 21/2, p.180	
	B.C.	IRPA-557	tourbe	3.340 ± 60		
	De C.R.	IRPA-405	tourbe	3.090 ± 80	v 25/3, p.868	
	De C.R.	IRPA-44	tourbe	1.310 ± 70	v 25/3, p.868	
Oudenburg	De B.W.	IRPA-176	tourbe	1.160 ± 60		
	De C.R.	IRPA-448	acides humiques moderne		v 25/3, p.868	
	De C.R.	IRPA-447	bois moderne		v 25/3, p.868	
Raversijde Anzegem	De B.W.	IRPA-199	eau souterraine	2.800 ± 140	v 21/2, p.180	
Raversijde Anzegem	B.C.	IRPA-512	tourbe	2.580 ± 60	v 26/3, p.387	
	S.C.	Gif-781	matière organique horizon B2h d'un podzol	2.410 ± 150	v 13/2, p.243	
Beezem	S.C.	Gif-1141	matière organique horizon B d'un podzol	2.250 ± 150	v 11/2, p.350	
De Panne Westhoek	G.F.	Lv-173	tourbe	550 ± 70	v 7, p.120	
	G.F.	Lv-174	tourbe	370 ± 70	v 7, p.120	
Nieuwmunster	De C.R.	IRPA-436	tourbe	440 ± 70	v 25/3, p.868	



Ciments d'Obourg s.a.

Ciments Portland à la pouzzolane PPz30

Ciments Portland P 40, P 50.

Ciments de haut fourneau HL 30, HK 40.

Concassés calcaires secs et lavés de tous calibres.

Sables spéciaux pour constructions.

Sables de concassage et fillers pour routes.

Mélanges spéciaux pour fondations de routes (graves laitier
(graves chlorure

Chaux hydraulique artificielle.

Administration centrale et direction générale

7048 OBOURG